

# 美国镍基高温合金

治军编

科学出版社

# 美国镍基高温合金

冶 军 编

科学出版社

## 内 容 简 介

本书是一本工具书，汇集、整理了美国 52 个牌号的镍基高温合金的有关资料，包括：合金的性能、成分、生产工艺和使用情况等。

本书篇首以“镍基高温合金的发展概况”和“高温合金的强化原理”两文作为导论，以便读者能概要地了解镍基高温合金的发展状况、性能指标以及强化理论。

本书可供从事研制、生产和使用高温合金的部门的技术工人、科技人员和有关高等院校师生参考。

## 美国镍基高温合金

治 军 编

\*

科学出版社出版  
北京朝阳门内大街 137 号

中国科学院印刷厂印刷

新华书店北京发行所发行 各地新华书店经售

\*

1978 年 4 月第 一 版 开本：787×1092 1/16  
1978 年 4 月第一次印刷 印张：39 1/4 插页：3  
印数：0001—8,560 字数：473,000

统一书号：15031·160  
本社书号：930·15—2

定 价： 6.70 元

## 前 言

高温合金，也称热强合金，是制造现代航空发动机、液体燃料火箭发动机和各种燃气轮机的重要金属材料。三十多年来，随着航空技术的进展，高温合金在品种、质量和生产工艺方面都有了较大的发展；对合金的组织结构也进行了许多研究。镍基高温合金是应用最广泛的高温合金之一。遵照伟大领袖和导师毛主席关于“洋为中用”的教导，我们较系统地整理了美国主要镍基高温合金的有关资料，汇编成册，供国内从事有关工作和学习有关专业的同志参考。

本书收入美国镍基高温合金共 52 个牌号，除航空和动力工业目前常用的镍基合金外，也选编了少数正处于研究试制阶段的新合金。本书介绍了上述 52 个高温合金的有关全面性能数据，并包括合金的组织结构、一般生产工艺和使用情况。为便于概要地了解高温合金的发展状况、性能指标和强化理论，我们在篇首写了“镍基高温合金的发展概况”和“高温合金的强化原理”作为本书的导论，并在书末汇集了主要合金的成分和性能图表作为附录。

由于资料不够完整，有的也不够准确，加上我们水平有限，时间仓促，有些资料可能没有收集编入，错误之处也在所难免，请读者指正。

编 者

1975 年 10 月

3k475/2

## 目 录

|                                 |        |
|---------------------------------|--------|
| 前言.....                         | ( i )  |
| 镍基高温合金的发展概况.....                | ( 1 )  |
| 高温合金的强化原理.....                  | ( 48 ) |
| 1. AF2-1DA .....                | ( 61 ) |
| 2. 713C .....                   | ( 71 ) |
| 3. 713LC.....                   | ( 88 ) |
| 4. Astroloy .....               | (106)  |
| 5. B-1900 .....                 | (110)  |
| 6. DCM Alloy.....               | (120)  |
| 7. GMR-235 .....                | (124)  |
| 8. Hastelloy C .....            | (132)  |
| 9. Hastelloy Alloy C-276 .....  | (140)  |
| 10. Hastelloy Alloy R-235 ..... | (144)  |
| 11. Hastelloy X .....           | (150)  |
| 12. IN-100.....                 | (165)  |
| 13. IN-102.....                 | (184)  |
| 14. IN-731 .....                | (189)  |
| 15. IN-738 .....                | (191)  |
| 16. Inconel 600 .....           | (202)  |
| 17. Inconel 601 .....           | (219)  |
| 18. Inconel 617 .....           | (222)  |
| 19. Inconel 625 .....           | (228)  |
| 20. Inconel 700 .....           | (242)  |
| 21. Inconel 702 .....           | (249)  |
| 22. Inconel 718 .....           | (256)  |
| 23. Inconel 722 .....           | (302)  |
| 24. Inconel Alloy X-750 .....   | (306)  |
| 25. Inconel 751 .....           | (332)  |
| 26. M-252 (J-1500).....         | (335)  |
| 27. Mar-M200 .....              | (340)  |
| 28. Mar-M246 .....              | (368)  |
| 29. Mar-M421 .....              | (374)  |
| 30. Mar-M432 .....              | (384)  |
| 31. Nicrotung .....             | (390)  |

• iii •

33130

|                           |       |
|---------------------------|-------|
| 32. René 41 .....         | (394) |
| 33. René 62 .....         | (439) |
| 34. René 63 .....         | (443) |
| 35. René 77 .....         | (447) |
| 36. René 80 .....         | (450) |
| 37. René 85 .....         | (458) |
| 38. René 95 .....         | (460) |
| 39. René 100 .....        | (464) |
| 40. TAZ-8 .....           | (467) |
| 41. TAZ-8A .....          | (471) |
| 42. TAZ-8B .....          | (478) |
| 43. TRW-NASA VI-A .....   | (484) |
| 44. TRW-1900 .....        | (491) |
| 45. TD-Ni .....           | (494) |
| 46. TD-NiCr .....         | (522) |
| 47. Udimet 500 .....      | (531) |
| 48. Udimet 520 .....      | (544) |
| 49. Udimet 700 .....      | (551) |
| 50. Udimet 710 .....      | (576) |
| 51. Waspaloy .....        | (586) |
| 52. WAZ-20 .....          | (610) |
| 附录 1 镍基高温合金的成分和主要性能 ..... | (614) |
| 附录 2 镍基高温合金的持久性能图 .....   | (622) |
| 符号表 .....                 | (624) |

# 镍基高温合金的发展概况

当前燃气涡轮发动机用高温合金以镍基合金为主，在发动机的热部件中，叶片材料的使用条件最为苛刻。叶片材料的性能一般可代表高温合金的发展水平。下面是以叶片材料为主来叙述高温合金的现状和发展。

## 一、燃气涡轮叶片的工作条件及其对材料的要求

涡轮叶片是燃气轮机的关键部件，为了提高发动机的效率，必须不断提高涡轮燃气进口温度。先进航空发动机（CF6 和 JT9D 改型）的燃气进口温度已达到 1370℃，推力已达 22.6 吨。一般叶身部分的温度为 650—980℃，叶根部分的温度为 760℃ 左右。由于涡轮叶片承受气动力和离心力的作用，产生拉应力和弯曲应力。同时燃气流的高速脉冲，使叶片产生震动应力。叶身部分承受的拉应力平均为 14 公斤/毫米<sup>2</sup>，叶根部分承受的拉应力为 28—56 公斤/毫米<sup>2</sup>。因此叶片材料要有足够的高温拉伸强度、持久强度和蠕变强度。此外还要有良好的机械疲劳，热疲劳性能，抗氧化，抗热腐蚀性能和适当的塑性<sup>[1—4]</sup>。

随着现代航空燃气涡轮的发展，要求材料能长时间使用。如美国的 JT3D 发动机的寿命为 16000 小时，英法合制的奥林普斯 593 的设计寿命为 7500 小时，英国的 RB211 发动机的设计寿命为 23000 小时。运输机用发动机一般要求 5000—40000 小时，工业燃气涡轮发动机要求 5000—100,000 小时的寿命。为了保证长期工作的可靠性，必须考虑叶片材料组织和性能的稳定性。特别是工业燃气涡轮使用含 S 和 V 较高的低级燃料，对合金产生严重腐蚀。如果用于舰船上，有海盐进入高温涡轮时，海洋气氛中钠盐与燃气中的硫化物生成 Na<sub>2</sub>SO<sub>4</sub>，就会使这种硫化腐蚀加速进行<sup>[5—8]</sup>。因此，对燃气涡轮叶片用的镍基合金提出了新课题。如果说以前主要工作是放在改善合金的机械性能方面。那末，由于要提高合金的使用寿命和适应各种腐蚀环境的要求，合金的长期稳定性和热腐蚀问题已成为当前合金发展和使用的关键，解决这些问题甚至比解决强度和塑性更为困难<sup>[1,8—11]</sup>。

## 二、涡轮叶片材料的成分、元素作用及其对性能的影响

### 1. 发展简况

国外的一些先进发动机，高温合金用量为发动机重量的 55—60%<sup>[12]</sup>。用做涡轮叶片的主要是镍基合金。关于镍基合金发展简况介绍如下：

镍基高温合金是由镍铬电阻合金（Cr20, Ni80）发展来的。英美等国都开始于 30 年代末期。在英国由于当时 Whittle 喷气发动机的出现，要求比奥氏体不锈钢抗蠕变性能更好的板材和棒材。英国 Mond 镍公司（现称国际镍公司）1941 年生产了加入少量 C 和 Ti 的 Nimonic 75 合金，用作短时使用的叶片材料，并广泛用作火焰筒材料，后来加入 Al 并增加 Ti 含量，不久发展了 Nimonic 80 合金<sup>[13]</sup>，加入 B, Zr 得到 Nimonic 80A，这是最早发展的以 Ni<sub>3</sub>(Al, Ti) 强化的涡

轮叶片材料。为了进一步改善蠕变和持久性能,以 Co 代替基体中部分 Ni, 发展了 Nimonic 90, 加入 Mo 得到 Nimonic 100, Nimonic 105 和 Nimonic 115 合金, 形成 Nimonic 系统。Nimonic 系的新合金是 Nimonic 93, 108, 109 和 120。它们是通过提高冶炼技术、精确控制合金成分, 特别是调整 B 含量而得到的, 这些合金的性能分别优于 Nimonic 90, 105, 115 等合金<sup>[13-16]</sup>。

1939 年美国国际镍公司发展了 Ni—Cr—Fe 系固溶强化的 Inconel 600, 在此合金的基础上加入 Al, Ti 得到一系列以  $\gamma'$  强化的合金, 形成了 Inconel 系统, 其中 Inconel X-750 为加入 Al, Ti, Nb 的得到广泛应用的合金。50 年代初期 Pratt & Whitney 飞机公司, 通用电气公司, 特殊金属公司分别研制出 Waspaloy, M-252 和 Udimet 500 等合金。以后又陆续出现了一系列新合金, 形成了 Udimet, Mar-M 和 IN 系统, 美国高温合金逐年发展情况见图 1。

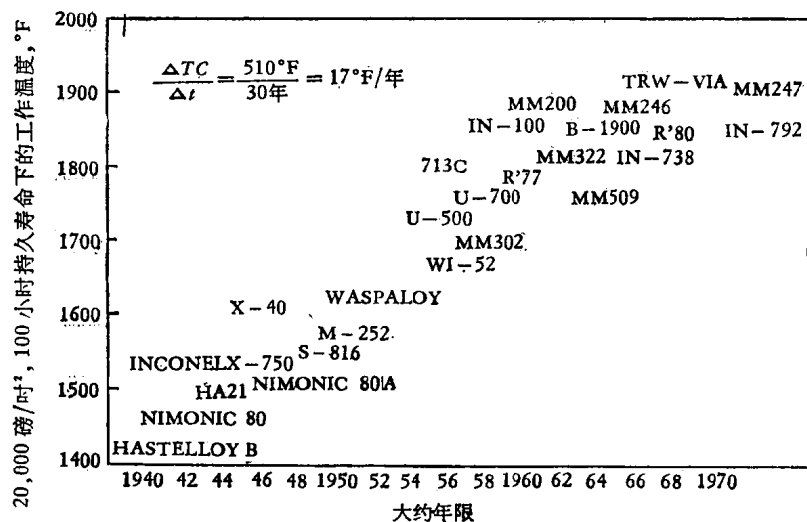


图 1 美国高温合金发展情况

1949—1950 年苏联开始仿制 Nimonic 80 和 Nimonic 80A, 称为 ЭИ 437 和 ЭИ 437A, 1952 年在 ЭИ 437A 中加入 B, 称为 ЭИ 437B。同时开始在 Ni—Cr—Al—Ti 合金基础上加入 7% W 和 3% Mo, 1954 年研制成 ЭИ617, 1957 年研制成 ЭИ929 等一系列合金, 形成了 ЭИ 系统(图 2), 以后又出现更新的变形合金 ЭП57, ЭП220 和高铬的 ЭП99 等合金, 同时研制成 АВБ-300, ЖС-3, ЖС-6, ЖС6-К, ЖС6-КП 等铸造合金<sup>[17]</sup>。

涡轮叶片合金的发展速度平均每年提高约 10°C, 目前合金最高的使用温度为 1000—

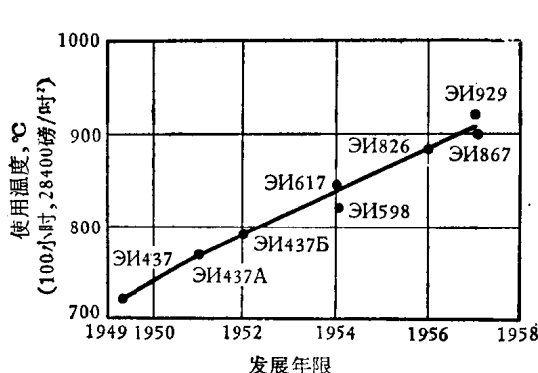


图 2 苏联高温合金发展情况

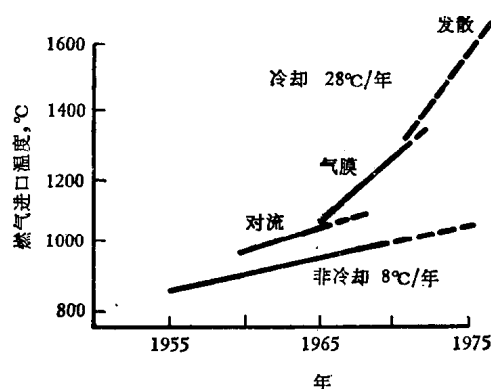


图 3 合金发展和空冷技术对提高燃气进口温度的贡献<sup>[18]</sup>

表1 美国涡轮叶片合金成分<sup>[4, 10-22, 82]</sup>

| 合 金             | C    | Cr   | Ni | Co   | Mo   | W    | Nb   | Ti   | Al  | B     | Zr    | 其 他          | 注 |
|-----------------|------|------|----|------|------|------|------|------|-----|-------|-------|--------------|---|
| AF2-1DA         | 0.35 | 12   | 基  | 10   | 3.0  | 6.0  | —    | 3.0  | 4.6 | 0.015 | 0.010 | 1.5Ta≤0.5Fe  |   |
| Alloy 713C      | 0.12 | 12.5 | 基  | —    | 4.2  | —    | 2.0  | 0.8  | 6.1 | 0.012 | 0.10  | —            | — |
| Alloy 713LC     | 0.05 | 12.0 | 基  | —    | 4.5  | —    | 2.0  | 0.6  | 5.9 | 0.010 | 0.10  | —            | — |
| Astroloy        | 0.06 | 15.0 | 基  | 15   | 5.25 | —    | —    | 3.5  | 4.4 | 0.03  | —     | —            | — |
| B-1900(PWA1455) | 0.10 | 8.0  | 基  | 10   | 6.0  | ≤0.1 | ≤0.1 | 1.0  | 6.0 | 0.015 | 0.08  | 4.3Ta≤0.35Fe |   |
| B-1910          | 0.10 | 10.0 | 基  | 10   | 3.0  | —    | —    | 1.0  | 6.0 | 0.015 | 0.10  | 7.0Ta        |   |
| DCM             | 0.08 | 15.0 | 基  | —    | 5.25 | —    | —    | 3.5  | 4.6 | 0.08  | —     | 5.0Fe0.10Cu  |   |
| Ford 406        | —    | 6.0  | 基  | 10   | 1.0  | 8.5  | 2.0  | 2.0  | 4.5 | —     | —     | 6.0Ta        |   |
| GMR-235         | 0.15 | 15.5 | 基  | —    | 5.25 | —    | —    | 2.0  | 3.0 | 0.06  | —     | 10Fe         |   |
| GMR-235D        | 0.15 | 15.5 | 基  | —    | 5.0  | —    | —    | 2.5  | 3.5 | 0.05  | —     | 4.5Fe        |   |
| IN-100          | 0.18 | 10   | 基  | 15   | 3.0  | —    | —    | 4.7  | 5.5 | 0.014 | 0.06  | 1.0V         |   |
| IN-162          | 0.12 | 10   | 基  | —    | 4.0  | 2.0  | 1.0  | 1.0  | 6.5 | 0.02  | 0.10  | 2.0Ta        |   |
| IN-643          | 0.50 | 25   | 基  | 12   | 0.5  | 9.0  | 2.0  | 0.25 | —   | —     | 0.25  | 3.0Fe        |   |
| IN-731          | 0.18 | 9.5  | 基  | 10   | 2.5  | —    | —    | 4.65 | 5.5 | 0.015 | 0.06  | 0.95V≤0.5Fe  |   |
| IN-738          | 0.17 | 16   | 基  | 8.5  | 1.75 | 2.6  | 0.9  | 3.4  | 3.4 | 0.01  | 0.10  | 1.75Ta≤0.5Fe |   |
| IN-792          | 0.21 | 12.7 | 基  | 9.0  | 2.0  | 3.9  | —    | 4.2  | 3.2 | 0.02  | 0.10  | 3.9Ta        |   |
| Inconel 700     | 0.12 | 15.0 | 46 | 28.5 | 3.75 | —    | —    | 2.2  | 3.0 | —     | —     | 6.75Fe       |   |
| Inconel X-750   | 0.04 | 15.0 | 73 | —    | —    | —    | 0.85 | 2.5  | 0.8 | —     | —     | —            | — |
| M-252(J-1500)   | 0.15 | 19   | 基  | 10   | 10   | —    | —    | 2.5  | 1.0 | 0.005 | —     | —            | — |
| Mar-M200        | 0.15 | 9    | 基  | 10   | —    | 12.5 | 1.0  | 2.0  | 5.0 | 0.015 | 0.05  | —            | — |
| • Mar-M211      | 0.15 | 9    | 基  | 10   | 2.5  | 5.5  | 2.75 | 2.0  | 5.0 | 0.015 | 0.05  | —            | — |
| • Mar-M246      | 0.15 | 9    | 基  | 10   | 2.5  | 10   | —    | 1.5  | 5.5 | 0.015 | 0.05  | 1.5Ta        | • |

表 1

|              | 合 金         | C     | Cr | Ni   | Co   | Mo         | W          | Nb   | Ti   | Al    | B           | Zr   | 其 他                 | 注           |
|--------------|-------------|-------|----|------|------|------------|------------|------|------|-------|-------------|------|---------------------|-------------|
| Mar-M421     | 0.15        | 15.5  |    | 10   | 1.75 | 3.5        | 1.75       | 1.75 | 4.25 | 0.015 | 0.05        |      | $\leq 1.0\text{Fe}$ |             |
| Mar-M432     | 0.15        | 15.5  |    | 20   | —    | 3.0        | 2.0        | 4.3  | 2.8  | 0.015 | 0.05        |      | 2.0Ta               |             |
| MM002        | 0.15        | 9.0   |    | 10   | 10   | —          | —          | 1.5  | 5.5  | 0.015 | 0.05        |      | 2.5Ta, 1.5Hf, 1.0Fe |             |
| MM004        | 0.05        | 12.0  |    | —    | 4.5  | —          | 2.0        | 0.6  | 5.9  | 0.010 | 0.10        |      | 1.3Hf               | (713LC-Hf)  |
| MM007        | 0.10        | 8.0   |    | 10   | 6.0  | $\leq 1.0$ | $\leq 1.0$ | 1.0  | 6.0  | 0.015 | 0.075       |      | 4.25Ta, 1.3Hf       | (B-1900-Hf) |
| MM008        | 0.07        | 14.6  |    | 15.2 | 4.4  | —          | —          | 3.35 | 4.3  | 0.015 | 0.03        |      | 1.3Hf               |             |
| NX-188       | 0.04        | —     | 基  | 10   | —    | 18.0       | —          | —    | 8.0  | —     | —           |      | —                   |             |
| PWA1422 定向   | 0.11        | 9.0   | 基  | 11   | 10   | —          | 12.5       | 1.0  | 2.0  | 5.0   | 0.015       |      | 1.5Hf               |             |
| René 41      | 0.09        | 19    | 基  | 18.5 | 5.2  | —          | —          | —    | 3.1  | 1.5   | $\leq 0.01$ | —    | —                   |             |
| René 77      | $\leq 0.15$ | 15    | 基  | 9.5  | 4.0  | 4.0        | —          | —    | 3.5  | 4.25  | $\leq 0.05$ | —    | $\leq 1.0\text{Fe}$ |             |
| René 80      | 0.17        | 14    | 基  | 5    | 4.0  | 4.0        | 1.5        | —    | 5.0  | 3.0   | 0.015       | 0.03 | —                   |             |
| TAZ-8B       | 0.125       | 6     | 基  | 7.5  | 2.0  | 5.8        | 0.5        | 1.0  | 5.4  | 0.02  | 0.13        |      | 9Ta, 0.5Re, 0.43Hf  |             |
| TRW-VIA      | 0.13        | 6     | 基  | 18.5 | 4.0  | —          | —          | 2.9  | 2.9  | 0.006 | 0.05        |      | —                   |             |
| U-500(变)     | 0.08        | 18    |    | 19   | 4.2  | —          | —          | 3.0  | 3.0  | 0.007 | 0.05        |      | —                   |             |
| U-500(铸)     | 0.07        | 18    |    | 12.0 | 6.0  | 1.0        | —          | 3.0  | 2.0  | 0.005 | —           |      | —                   |             |
| U-520        | 0.05        | 19    |    | 18.5 | 5.2  | —          | —          | 3.5  | 4.3  | 0.03  | —           |      | —                   |             |
| U-700        | 0.08        | 15    |    | 15.0 | 3.0  | 1.5        | —          | 5.0  | 2.5  | 0.02  | —           |      | —                   |             |
| U-710        | 0.07        | 18    |    | 7.2  | 1.6  | 8.4        | —          | 3.2  | 1.9  | 0.008 | 0.06        |      | 9.5Fe               |             |
| Unitemp-1753 | 0.24        | 16.25 | 基  | 13.5 | 4.3  | —          | —          | 3.0  | 1.4  | 0.006 | 0.09        |      | —                   |             |
| Waspaloy     | 0.07        | 19.5  | 基  | —    | —    | 18.5       | —          | —    | 6.2  | —     | 1.5         |      | —                   |             |
| WAZ-20       | 0.15        | —     | 基  |      |      |            |            |      |      |       |             |      |                     |             |

1050°C, 而先进发动机的燃气进口温度已达 1370°C. 这一差距需要采用冷却技术加以弥补, 冷却技术的改进平均每年提高约 30°C, 是材料改进速度的 3 倍. 如英国于 1960 年首次使用的空气冷却发动机(Conway)可提高进口温度 100°C, 70 年代初期的新型发动机(RB211, Olympus, RB199)由于改进冷却技术可提高进口温度 300°C 以上<sup>[1]</sup>. 冷却方式目前可分对流、气膜和发散三种, 不同冷却方式和合金发展对提高燃气进口温度的效果见图 3.

## 2. 涡轮叶片用主要合金的化学成分(美、英、苏三国涡轮叶片合金成分见表1、2、3)

表 2 英国涡轮叶片合金成分<sup>[13, 23-24]</sup>

| 合 金           | C         | Cr   | Ni | Co   | Mo   | W   | Nb  | Ti   | Al  | B     | Zr    | 其 他               |
|---------------|-----------|------|----|------|------|-----|-----|------|-----|-------|-------|-------------------|
| Nimonic 80A   | 0.05      | 20   | 基  | —    | —    | —   | —   | 2.3  | 1.3 | 0.003 | 0.05  |                   |
| Nimonic 81    | 0.05      | 30   | 基  | 2.0  | 0.3  | —   | —   | 1.8  | 0.9 | 0.002 | 0.06  |                   |
| Nimonic 90    | 0.08      | 20   | 基  | 17   | —    | —   | —   | 2.5  | 1.5 | 0.003 | 0.05  |                   |
| Nimonic 93    | 0.10      | 20   | 基  | 17   | —    | —   | —   | 2.75 | 1.5 | 0.008 | 0.08  |                   |
| Nimonic 105   | 0.15      | 15   | 基  | 20   | 5.0  | —   | —   | 1.2  | 4.7 | 0.006 | 0.10  |                   |
| Nimonic 108   | 0.14      | 14.9 | 基  | 20   | 5.25 | —   | —   | 1.25 | 5.0 | 0.03  | —     |                   |
| Nimonic 115   | 0.16      | 15   | 基  | 15   | 3.5  | —   | —   | 4.0  | 5.0 | 0.014 | 0.04  |                   |
| Nimonic 118   | 0.14      | 15   | 基  | 15   | 4.0  | —   | —   | 4.0  | 5.0 | 0.03  | —     |                   |
| Nimonic 120   | 0.04~0.08 | 12.5 | 基  | 10   | 5.75 | —   | —   | 3.6  | 4.6 | 0.025 | 0.05  |                   |
| EPK55(IN-587) | 0.05      | 28.5 | 基  | 20   | —    | —   | 0.7 | 2.3  | 1.2 | 0.003 | 0.05  |                   |
| EPK57(IN-597) | 0.05      | 24.5 | 基  | 20   | 1.5  | —   | —   | 1.0  | 3.0 | 1.5   | 0.012 | 0.05              |
| Nimocast-PK24 | —         | 10   | 基  | 15.2 | 3.0  | —   | —   | 4.9  | 5.5 | —     | —     |                   |
| Nimocast-258  | 0.2       | 10.6 | 基  | 20   | 5.0  | —   | —   | 3.8  | 5.1 | 0.02  | —     |                   |
| G94           | 0.08      | 9    | 基  | 10   | 4.0  | 4.0 | 4.0 | —    | 6.0 | —     | —     |                   |
| G104          | 0.08      | 5    | 基  | 15   | 3.5  | 8.0 | —   | —    | 6.0 | 0.10  | 0.05  | 8.0T <sub>a</sub> |
| M20           | 0.10      | 10   | 基  | 10   | 4.0  | —   | —   | 5.0  | 5.3 | 0.015 | 0.12  | —                 |
| M21           | 0.13      | 5.7  | 基  | —    | 2.0  | 11  | 1.5 | —    | 6.0 | 0.02  | 0.12  | —                 |
| M22           | 0.13      | 5.7  | 基  | —    | 2.0  | 11  | —   | —    | 6.3 | —     | 0.6   | 3.0T <sub>a</sub> |

表 3 苏联涡轮叶片合金成分<sup>[17-19]</sup>

| 合 金            | C         | Cr       | Ni | Co        | W   | Mo      | Al      | Ti      | B       | Ce     | 其 他       |                  |
|----------------|-----------|----------|----|-----------|-----|---------|---------|---------|---------|--------|-----------|------------------|
| ЭИ437Б         | ≤0.06     | 20.5     | 基  | —         | —   | —       | 0.75    | 2.5     | 0.006   | —      | —         |                  |
| ЭИ445Р         | ≤0.08     | 18.5     | 基  | —         | 4.5 | 4.5     | 0.7     | 2.5     | ≤0.01   | ≤0.01  | ≤4Fe      |                  |
| ЭИ598          | ≤0.12     | 17.5     | 基  | —         | —   | 2.8     | 5.0     | 1.4     | 2.4     | ≤0.01  | ≤0.02     | 0.9Nb            |
| ЭИ617          | ≤0.12     | 15       | 基  | —         | —   | 6.0     | 3.0     | 2.0     | 2.0     | 0.005  | —         | 0.3V             |
| ЭИ826          | ≤0.12     | 14.5     | 基  | —         | —   | 6.0     | 3.2     | 2.6     | 2.0     | ≤0.015 | ≤0.02     | ≤5Fe, 0.3V       |
| ЭИ867          | ≤0.10     | 9.0      | 基  | 5         | —   | 5.0     | 10.3    | 4.5     | —       | ≤0.02  | ≤0.02     | ≤4Fe, 0.6V≤0.1Ba |
| ЭИ129          | ≤0.12     | 10.5     | 基  | 14        | —   | 5.5     | 5.0     | 4.0     | 1.7     | ≤0.02  | —         | ≤5Fe, 0.6V≤0.1Ba |
| ЭИ157          | 0.1/0.2   | 9/12     | 基  | 14/16     | —   | 5/7     | 4/6     | 3.7/4.7 | 2.0/2.8 | ≤0.02  | —         | 0.2/0.8V≤5Fe     |
| ЭП199          | ≤0.1      | 21/24    | 基  | 5/8       | —   | 6/8     | 3.5/5.0 | 2.5/3.5 | 1.0/1.5 | 0.005  | 0.02      | ≤5Fe             |
| ЭП109          | ≤0.1      | 8.5/10.5 | 基  | 11/13     | —   | 6.0/7.5 | 6.5/8.0 | 5.4/6.2 | —       | ≤0.02  | 0.01/0.02 | ≤1.5Fe           |
| ЭП1220         | ≤0.08     | 9/12     | 基  | 14/16     | —   | 5.0/7.0 | 5.0/8.0 | 3.9/4.8 | 2.2/2.9 | ≤0.02  | —         | 0.2/0.8V≤3Fe     |
| ЭП1238         | ≤0.08     | 7.5/9.0  | 基  | 13.5/16.0 | —   | 6.0/8.0 | 3.0/5.5 | 6.1/6.7 | —       | ≤0.02  | ≤0.02     | ≤1.0Fe           |
| ЖС6            | 0.11/0.18 | 12.5     | 基  | —         | —   | 7       | 4.8     | 5.0     | 2.5     | 0.02   | —         | ≤2Fe             |
| ЖС6-K          | 0.12/0.2  | 11.5     | 基  | 4.5       | —   | 5       | 4       | 5.5     | 2.8     | 0.02   | —         | ≤2Fe             |
| ЖС6-KП<br>(变形) | 0.1/0.15  | 10/12    | 基  | 5/9       | —   | 3/5     | 5/6.5   | 4.3/5.0 | 2.6/3.5 | ≤0.02  | ≤0.02     | ≤1.5Fe           |
| ЖС6-KП<br>(铸造) | 0.1/0.16  | 9/11.5   | 基  | 5/8       | —   | 3/5     | 4/6     | 4.2/5.0 | 2.4/3.3 | ≤0.03  | ≤0.015    | ≤2.0Fe           |

根据表中和近年来新研制的镍基合金成分有如下特点：

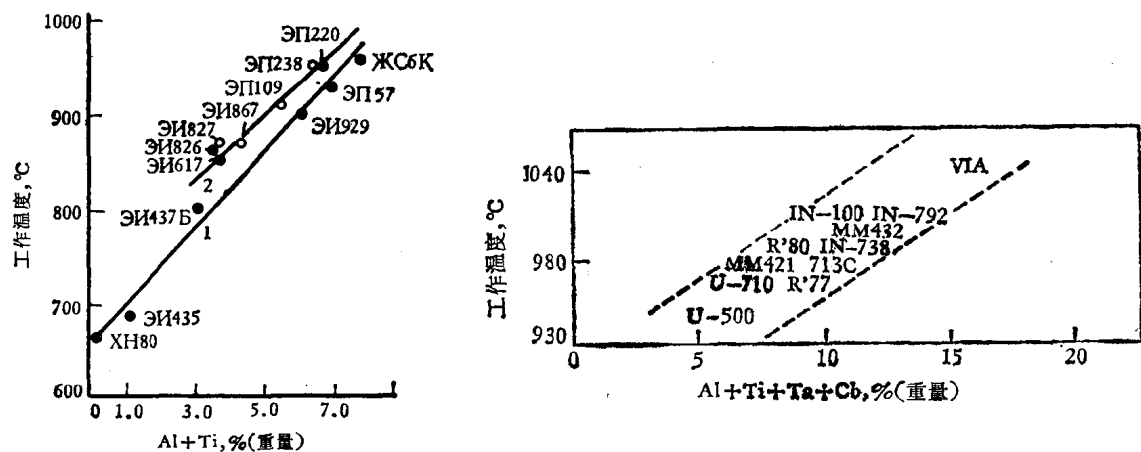
(1) 加入大量的  $\gamma'$  形成元素 Al, Ti, Nb, Ta

铸造合金 TRW-VI A 是当前性能最高的合金， $\gamma'$  形成元素之和已达 16%。统计表 1 中若干合金的 Al, Ti, Nb, Ta 的含量与高温强度的关系见表 4。

表 4 镍基合金中 Al, Ti, Nb, Ta 含量与持久强度的关系

| 合<br>金   | Al + Ti + Nb + Ta | 815°C, 100 小时<br>持久应力, 公斤/毫米 <sup>2</sup> | 980°C, 100 小时<br>持久应力, 公斤/毫米 <sup>2</sup> |
|----------|-------------------|---|---|
| Mar-M246 | 8.5               | 56  | 19  |
| AF2-1D   | 9.1               | 49  | 15  |
| Mar-M211 | 9.7               | 53  | 17  |
| IN-738   | 10.5              | 53  | 18  |
| IN-162   | 10.5              | 46  | 18  |
| Mar-M432 | 11.1              | 46  | 14  |
| IN-792   | 11.3              | 51  | 15  |
| B-1900   | 11.4              | 51  | 18  |
| Ford406  | 14.5              | 60  | 22  |
| TRWVIA   | 15.9              | 57  | 22  |

从表中看出，一般 Al, Ti, Nb, Ta 总量越高，持久强度越高，但其中 Mar-M246 的  $\gamma'$  形成元素的总量最低，持久强度却较高，这是由于该合金的 W, Mo 含量较高 (W + Mo = 12.5%) 的原因。而 IN-162 和 Mar-M432 合金的持久强度偏低，是由于 W, Mo 含量较低之故。图 4 [2,19] 也反映出合金的使用温度随着 Al + Ti + Nb + Ta 的总量的增加而提高。但有人指出形成  $\gamma'$  元素的总量为 8—10% (重量) 时，高温强度最好 [24]。



(a) 苏联镍基合金的工作温度(20 公斤/毫米<sup>2</sup>, 持久 100 小时)和 Al, Ti 含量的关系

1. 含 Al, Ti 合金, 2. 只含 Al 合金

(b) 美国镍基合金的工作温度和 Al + Ti + Nb + Ta 含量的关系

IN-100 IN-792 MM432 R'80 IN-738 MM421 713C U-500 U-710 R'77 VIA

(2) 加入大量的难熔金属固溶强化

美国早期的合金 (M-252, Waspaloy, Udiment 500 等) 主要以 Mo 强化，但比较新的使用温度更高的合金，特别是镍基铸造合金却同时加入大量的 W, Mo 或单独使用大量的 W (Mar-

M200—12.5%W, WAZ-20—18.5%W) 进行强化。大量应用的镍基合金 W + Mo 含量一般为 3—13%。苏联很早有人认为 Mo 对镍基合金的耐热性能和塑性的影响最好,同时加入 10—15% (W + Mo) 则耐热性能更好<sup>[25]</sup>。近来有人认为 Mo + W 的适宜含量为 6—9%,而且 W/Mo ≥ 2 最好<sup>[24]</sup>。据文献[26]报道,英美较新的合金中 W/Mo ≥ 5, W + Mo 总量为 13%,使用温度高于目前大量应用的 IN-100 和 Inco 713C (见表 5)。

表 5 英美某些铸造合金的 Mo + W 含量与持久强度的关系<sup>[36]</sup>

| 合 金      | 元 素 含 量, % |      |     |     |     | 14 公斤/毫米 <sup>2</sup> , 100 小时下的工作温度, °C | 比重, 克/厘米 <sup>3</sup> |
|----------|------------|------|-----|-----|-----|--|-----------------------|
|          | Cr         | W    | Mo  | Al  | Ti  |  |                       |
| Inco713C | 12.5       | —    | 4.2 | 6.5 | 0.8 | 985                                      | 7.9                   |
| In-100   | 10.0       | —    | 3.0 | 5.5 | 4.7 | 1000                                     | 7.8                   |
| M21      | 5.7        | 11.0 | 2.0 | 6.0 | —   | 1020                                     | 8.5                   |
| G104     | 5.0        | 8.0  | 3.5 | 6.0 | —   | 1025                                     | 8.6                   |
| Mar-M246 | 9.0        | 10.0 | 2.5 | 5.5 | 1.5 | 1035                                     | 8.6                   |
| M22      | 5.7        | 11.0 | 2.0 | 6.3 | —   | 1035                                     | 8.6                   |
| 试验合金     | 3.0        | 未    | 公   | 布   |     | 1050                                     | 9.13                  |

英国的镍基变形合金也主要用 Mo 强化而不用 W, 但使用温度较高的镍基铸造合金也含 W。近期发展的 G104, 含 8%W, M21, M22 含 11%W。总之,为了提高合金的高温强度,总的趋势是日益提高加入合金元素总量,按表 1 统计结果, 大量应用的合金, 合金元素加入总量为 35—48%, 但有人认为合金元素总量以 30—40% 时强化效果最好<sup>[24]</sup>。我们认为在高合金化的合金中, 强化效果首先应计算 W + Mo 和 γ' 形成元素的总量, 而 Co 和 Cr 居于次要地位, 合金的强度随着合金元素总量的增加而提高, 如目前镍基铸造合金中, 高温强度最高的 TRW-VI A 总量(不包括 Co, Cr)为 24.5% (最高), Mar-M200, Mar-M246, TAZ-8 等高温强度较好的合金, 合金元素总量都比较高。

为了得到更高的高温强度, 更多地加入合金元素, 1965 年以前是逐渐降低 Cr 含量, 以免出现有害相 (如 σ)<sup>[26]</sup>。然而由于降低 Cr 含量给抗氧化、抗腐蚀带来不利影响。为了解决抗热腐蚀问题, 一方面发展抗腐蚀的涂层, 如 Pratt & Whitney 公司 1972 年研究成功的真空蒸发沉积 Co-Cr-Al-Y 涂层, 作为 44200 马力的 TF4 燃气轮机的工作叶片和导向叶片的涂层, 使用寿命可达 50000 小时<sup>[27]</sup>。另一方面发展了能长期使用, 抗热腐蚀的含 Cr 量较高的合金。如美国的 IN-738<sup>[28,29,31,35]</sup>, Mar-M432<sup>[31,33,35]</sup> 和 Udimet-710<sup>[30,31,32]</sup>。英国的 IN-587, IN-597<sup>[34-36]</sup>。近来还在研究 Cr 含量更高的 (≥ 30%Cr) 合金。高温合金的发展过程 (分三个阶段) 见图 5<sup>[37]</sup>。据报道<sup>[38-40]</sup>日本东芝公司研制成一种“CND”新型燃气轮机叶片用耐热合金 (36%Cr, 0.7%Al, 1%Ti, 3.5%Mo, 5%Ta, 0.1%C, 0.15%B, Ni 基), 具有良好

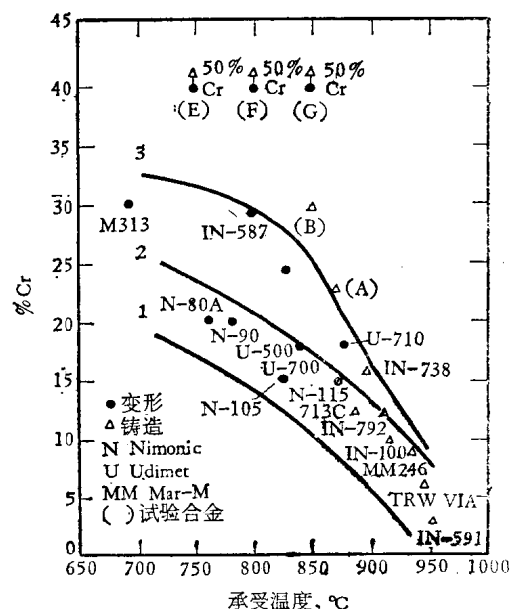


图 5 合金发展过程及使用温度与 Cr 含量的关系  
1, 2, 3 表示发展的三个阶段

的抗腐蚀性能,据称叶片寿命为 100,000 小时以上,不受低级燃料中所含的大量 S、V 等元素的腐蚀.

### (3) 加入微量的 B、Zr、碱土、稀土元素控制晶界状态和强化晶界

过去大量的工作证明,蠕变过程中镍基合金破坏的一般方式,主要是沿着垂直于应力方向的晶界进行. 加入微量元素如 B( $\sim 0.01\%$ ), Zr( $\sim 0.1\%$ )<sup>[41-44]</sup>, Ce( $\sim 0.1\%$ )<sup>[44-47]</sup> 和 Mg( $\sim 0.1\%$ )<sup>[47-51]</sup>能显著改善晶界状况,提高镍基合金的蠕变性能.

## 3. 合金元素的作用及其对性能的影响

复杂镍基合金中加入 10 多种大量元素和微量元素,现将各种元素的作用作一简要叙述:

Co, Cr, W, Mo 主要起固溶强化作用,也是碳化物形成元素<sup>[44,52]</sup>. 在广泛应用的镍基合金中,几乎都含有 10—20% 的 Cr. Cr 是稳定合金表面最重要的元素,它在基体材料的表面形成抗氧化和抗腐蚀的保护层<sup>[25]</sup>. 加入 Cr 可形成富 Cr<sub>2</sub>O<sub>3</sub> 层,它有低的阳离子空位,所以能阻止金属元素向外扩散和 O, N<sub>2</sub>, S 及其他有害元素向内扩散<sup>[10]</sup>. 能防止材料的氧化和热腐蚀<sup>[7,9,53]</sup>. 有人认为<sup>[23]</sup>合金的抗热腐蚀性能主要与合金中的 Cr, Ti 含量有关,并提出以有效 Cr 含量作为指标评价镍基合金的抗热腐蚀性能.

$$\text{有效 Cr 含量} = \text{Cr} + 1.1(\text{Ti}) + 0.76(\text{Al})$$

但应该注意,过分提高 Cr 会降低  $\gamma'$  的固溶温度,因而也降低合金的高温强度.

Co 在 Ni-Cr 时效合金中对高温强度有良好作用. 主要通过以下途径提高合金的高温性能:

(1) 降低 Ti 和 Al 在基体中的溶解度,因而增加强化相的数量<sup>[44,54]</sup>.

(2) 强化  $\gamma'$ , 变成(Ni, Co)<sub>3</sub>(Al, Ti), 提高  $\gamma'$  相的固溶温度<sup>[2,52,53]</sup>. 例如 Nimonic80 合金,  $\gamma'$  固溶温度为 840—880°C, 由于增加了 Co, Nimonic90 合金的  $\gamma'$  固溶温度提高到 900—940°C<sup>[13,15]</sup>.

(3) 通过减少碳化物在晶界上的析出,以减少晶界贫 Cr 区的宽度<sup>[54]</sup>.

(4) 降低基体的堆垛层错能,以发挥固溶强化作用<sup>[54]</sup>.

此外, Co 还能改善镍基合金的热加工性能,塑性和冲击韧性<sup>[7,44]</sup>.

W, Mo 主要进入合金固溶体,减慢 Al, Ti 和 Cr 的高温扩散速度,并增加扩散激活能,加强固溶体中原子间结合力,减慢软化速度. Mo 比 W 的效果更为显著,只有加入不小于 7—8% W 时才显著地改善合金的热强性<sup>[44]</sup>. 但是使用温度更高(>1000°C)时, W 的强化作用较显著,如高温性能较好的 Mar-M200, Mar-M246, TRW1800, TRW1900, M21, M22, G104 合金都含 8—13% W<sup>[19,30,36]</sup>. 使用温度可达 1093°C 的 WAZ-20 含 17—20% W<sup>[55,56]</sup>. W, Mo 能显著增加镍基合金中  $\gamma'$  相的稳定温度,即提高  $\gamma'$  相的溶解温度. 由于加入 W 降低了 Al, Ti 在基体中的溶解度,故增加了  $\gamma'$  的数量,从而提高了使用温度<sup>[57]</sup>. W 在高 Ti/Al 的合金中,减少 Ti 原子的扩散速度,故能阻止  $\gamma'$  相向  $\eta$  相的转变过程<sup>[58]</sup>. 此外, W, Mo 均能改变  $\gamma$  和  $\gamma'$  之间晶格常数的错配度,因而也影响  $\gamma'$  的形态<sup>[57,59,60]</sup>.

Al, Ti 是  $\gamma'$  相[Ni<sub>3</sub>(Al, Ti)]主要形成元素,通过  $\gamma'$  在基体内弥散分布,影响位错行为以强化合金.  $\gamma'$  中可溶解许多元素. Nb, Ta 主要进入  $\gamma'$ ,因此认为 Nb, Ta 是强化和稳定  $\gamma'$  的主要元素<sup>[7,61]</sup>. 镍基合金的高温性能主要取决于 Al, Ti 加入总量和 Ti-Al 比,增加 Al, Ti 总量可明显提高  $\gamma'$  固溶温度和  $\gamma'$  体积分数<sup>[52]</sup>. 例如镍基合金中 Al + Ti 总量由 3% 增加到

4.5%，可提高  $\gamma'$  固溶温度 110°C， $\gamma'$  数量增加近 2 倍<sup>[62]</sup>。Nimonic 系统合金中 Al, Ti 含量对  $\gamma'$  固溶温度的影响见表 6。当前具有最好高温强度的合金，Al, Ti 之和接近 10%，Al, Ti, Nb, Ta 之和为 16%。低 Ti-Al 比（高 Al, 低 Ti）合金，一般在较高温度下使用<sup>[52,53,63]</sup>。高 Ti-Al 比（高 Ti, 低 Al）对于良好的抗热腐蚀性能是必要的， $Ti/Al = 2.0$  时，合金同时具有良好的高温强度和抗热腐蚀性能。提高 Ti-Al 比增强抗热腐蚀性，但 Ti-Al 比过高则容易出现粗大片状  $\eta(Ni_3Ti)$  相，使合金脆化，强度和塑性都急剧降低<sup>[64,65]</sup>。Ta (W 也有同样作用)加入到合金中，除了主要强化  $\gamma'$  外，还能稳定 Mc 碳化物，在使用过程中推迟甚至阻止碳化物反应 ( $Mc \rightarrow M_{23}C_6$ )，使基体内的 Cr 稳定，从而间接地起到了抗热腐蚀作用<sup>[10,37]</sup>。Nb 主要进入  $\gamma'$ ，提高  $\gamma'$  的稳定性，并强化固溶体，此外，还能提高合金的焊接和工艺性能，如苏联的 ЭИ698 和美国的 Inconel 718<sup>[24,66,67]</sup>。

加入适量的 B, Zr 能显著提高合金的持久寿命，降低蠕变速率，并显著改善持久缺口敏感性<sup>[42]</sup>，提高合金的塑性和加工性能。当只加入其中一种时，B 的作用比 Zr 显著，但同时加入 B、Zr 的合金的性能最好（见表 7）<sup>[42,43,68]</sup>。

表 6 合金中 Al, Ti 含量与  $\gamma'$  固溶温度的关系

| 合 金         | Al + Ti, % | $\gamma'$ 固溶温度, °C |
|-------------|------------|--------------------|
| Nimonic 80A | 3.6        | 840—880            |
| Nimonic 90  | 4.0        | 900—940            |
| Nimonic 105 | 5.9        | 1020—1060          |
| Nimonic 115 | 9.0        | 1140—1160          |

表 7 B, Zr 对镍基合金持久、蠕变性能的影响<sup>[43]</sup>

| 合 金  | B, %   | Zr, % | 第二阶段最小蠕变速率, %/小时 | 持久寿命, 小时 | 延伸率, % | 面缩率, % |
|------|--------|-------|------------------|----------|--------|--------|
| 未加   | 0.0002 | <0.01 | 0.0160           | 45       | 2      | 1      |
|      |        |       | 0.0060           | 52       | 2      | 1      |
| + Zr | 0.0004 | 0.19  | 0.0036           | 147      | 5      | 5      |
|      |        |       | 0.0095           | 134      | 6      | 8      |
| + B  | 0.0089 | <0.01 | 0.0018           | 429      | 10     | 11     |
|      |        |       |                  | 394      | 7      | 8      |
| + B  | 0.0088 | 0.01  | 0.0004           | 666      | 17     | 16     |
| + Zr |        |       | 0.0003           | 627      | 12     | 13     |

加入过多的 B，在晶界上形成硬而脆的化合物，有时还是低熔点的，是降低热加工性和塑性的因素<sup>[68]</sup>。

B、Zr 主要存在于晶界上，其作用可以认为是改善晶界形态。高温下晶界扩散迅速，是位错容易攀移的通道，一种理论认为 B 和 Zr 原子富集在晶界上，填满空位和晶格缺陷，可减慢晶界扩散过程，降低位错攀移速度，从而强化了合金<sup>[53,68,69]</sup>。另一种理论（已为试验证实）认为晶界上的 B、Zr 能抑制  $M_{23}C_6$  碳化物早期聚集，延缓晶界裂纹的发生。例如，不含 B、Zr 的 Udimet 500 合金，在蠕变的第一阶段（23 小时）晶界开始出现裂纹，而含 B、Zr 的合金，直到蠕变第三阶段（214 小时）仍未发生<sup>[43,53]</sup>。此外，B、Zr 也减少 C 向晶界上偏析，增加了晶内碳化物的数量，这也可以提高合金的蠕变抗力。第三，晶界上的 B、Zr 改变了界面能量，有利于改变晶界上第二相的形态，使之更易于球化，提高晶界强度，也提高了合金穿晶转变为沿晶断裂的温度<sup>[70,71]</sup>。

有些合金（WAZ-20）加入 1.4—1.6% Zr 和 0.1—0.2% C 是为了生成稳定的晶界碳化物，

防止高温下的晶界滑移,提高合金的持久强度<sup>[72]</sup>.

镍基合金中含 0.005—0.05% Mg, 可显著地提高合金的持久性能和塑性<sup>[49,50]</sup>, 减少晶界碳化物、硼化物和硫化物的数量, 提高晶间结合力, 改善加工塑性<sup>[49,51,73,74]</sup>. 加入 Mg 量过高, 生成 Ni-Ni<sub>2</sub>Mg 共晶(熔点 1095°C)反而恶化热加工性能<sup>[48,51]</sup>. 对于高 Cr 含量的镍基合金(IN-597) Mg 的适宜加入量为 0.01—0.03%<sup>[73]</sup>. Mg 含量对 Ni—21.5Cr—13.5Co—4Mo—2Nb—2.5Ti—0.2Al—0.05C 合金的持久寿命和塑性的影响见表 8<sup>[49]</sup>.

表 8 Mg 含量对镍基合金持久性能的影响

| Mg 含量, % | 持久寿命, 小时<br>(650°C, 70 公斤/毫米 <sup>2</sup> ) | 延伸率, % | 面缩率, % |
|----------|---|--------|--------|
| 0        | 122—188                                     | 9.5—17 | 11—30  |
| 0.013    | 243.5                                       | 24     | 53.3   |
| 0.016    | 278.3                                       | 31     | 59.5   |
| 0.022    | 414.1                                       | 30     | 61.4   |
| 0.027    | 467.3                                       | 29     | 62.8   |
| 0.049    | 421.9                                       | 28     | 53.4   |

加入 0.1% La 族元素能稳定地富集在基体晶界上, 用这些元素对镍基合金进行微区域合金化, 可影响晶界析出物的分布和形态, 并通过净化晶界提高合金的热强性和加工性能. 由于加入 Ce、La 等元素, 合金在高温退火时促使晶界形成链状碳化物, 改善合金的瞬时和持久性能. 如对高 Cr 的 XKC6K 分别加入 0.06% 的 Ce, La, Nd, Pr, 晶界析出物由连续网状变成链状, 改善了合金性能<sup>[46]</sup>. 又如, 往 ЭИ437 中分别加入 0.1% 的 Ce, La, Nd 和混合稀土, 可提高持久寿命 3—5 倍, 并明显改善合金在 1000—1200°C 下的工艺塑性, 其中以 Nd 的作用最大. 合金中稀土元素的残余量应尽可能低(0.002—0.007% 或更低), 当超过 0.015—0.025% 时, 则降低塑性. 稀土元素对合金性能的有利影响是因为对合金, 特别是晶界起净化作用, 使合金中 O<sub>2</sub>, H<sub>2</sub> 含量降到 1/2—1/4, 稀土元素有强烈脱硫作用, 与合金中的硫和其他有害杂质化合形成高熔点化合物(如 NdS—2200°C, Nd<sub>3</sub>S<sub>4</sub>—2040°C), 从而提高了持久性能和工艺性能<sup>[44,45]</sup>. 此外, 稀土元素还能提高合金氧化膜的表面稳定性, 生成 (Cr, La)<sub>2</sub>O<sub>3</sub>, 阻止氧的扩散穿透, 因此防止了合金的早期破坏<sup>[44,75]</sup>. La 加入到镍基合金中, 还能提高抗热腐蚀性能, 使艇船用燃气涡轮叶片的抗热腐蚀性能提高 10 倍<sup>[6]</sup>. 适当加入量为 0.2%, 加入过量, 则在晶界上形成 Ni<sub>5</sub>La, 降低持久性能<sup>[77,78]</sup>. Ce 也有同样作用, 如 Udimet 500 和 Udimet 700 加入 0.2% Ce, 可提高抗腐蚀性能 3—10 倍<sup>[6]</sup>.

关于微量 B、Zr、稀土、碱土元素显著改善合金性能的机理, 目前尚未完全清楚, 一般认为加入这些元素改善了晶界状态, 提高晶界强度. 与此相似, 从 60 年代初期到现在, 不少人作了往镍基合金中加 Hf 的研究. B-1900, Alloy 713Lc, Udimet 700, Mar-M200 和 Mar-M246 等合金加入 1.3—2.0% Hf 能提高这些合金的室温和中温(760°C)强度和塑性<sup>[79—82]</sup>. 几种镍基合金及其加 Hf 改型合金的机械性能, 见表 9.

定向结晶的 Mar-M200 合金中加 2% Hf, 可明显提高 760—980°C 范围内的横向持久寿命, 持久塑性和拉伸塑性, 而不损害纵向性能, 见表 10<sup>[83]</sup>. 由于加 Hf 强化了晶界, 提高了塑性, 所以在高温下从晶界(脆性)破断转变为晶内(韧性)破断. 研究证明加入 1% Hf 对组织和性能没有改善, 加入 2% Hf 最为适宜, 低于 1.5% 或超过 3.5% 则持久塑性迅速下降<sup>[84,85]</sup>.

表9 加Hf对几种合金性能的影响<sup>[82]</sup>

| 性 能 <sup>(a)</sup>           | B-1900 | B-1900-Hf <sup>(b)</sup> | 713LC | 713LC-Hf <sup>(c)</sup> | U-700 | U-700-Hf <sup>(d)</sup> | Mar-M 246 | Mar-M246-Hf <sup>(e)</sup> |
|------------------------------|--------|--------------------------|-------|-------------------------|-------|-------------------------|-----------|----------------------------|
| <b>室温拉伸</b>                  |        |                          |       |                         |       |                         |           |                            |
| 拉伸强度,公斤/毫米 <sup>2</sup>      | 80.5   | 89.0                     | 70.0  | 91.0                    | 89.0  | 107.0                   | 101.5     | 117.6                      |
| 0.2%屈服强度,公斤/毫米 <sup>2</sup>  | 73.5   | 75.6                     | 67.2  | 69.3                    | 80.5  | 77.7                    | 83.3      | 98.0                       |
| 延伸率, %                       | 6      | 9                        | 4     | 13                      | 6     | 17                      | 4         | 6                          |
| 面缩率, %                       | 8      | 14                       | 10    | 18                      | 14    | 21                      | 6         | 8                          |
| <b>760°C持久</b>               |        |                          |       |                         |       |                         |           |                            |
| <b>59.5公斤/毫米<sup>2</sup></b> |        |                          |       |                         |       |                         |           |                            |
| 寿命, 小时                       | —      | —                        | 24    | 63                      | 49    | 69                      | 700       | —                          |
| 延伸率, %                       | —      | —                        | 2.4   | 4.8                     | 4.8   | 7.3                     | 5         | —                          |
| <b>66公斤/毫米<sup>2</sup></b>   |        |                          |       |                         |       |                         |           |                            |
| 寿命, 小时                       | 19     | 86                       | —     | —                       | —     | —                       | —         | —                          |
| 延伸率, %                       | 1.6    | 4.8                      | —     | —                       | —     | —                       | —         | —                          |
| <b>70公斤/毫米<sup>2</sup></b>   |        |                          |       |                         |       |                         |           |                            |
| 寿命, 小时                       | —      | —                        | —     | —                       | —     | —                       | 80        | 102                        |
| 延伸率, %                       | —      | —                        | —     | —                       | —     | —                       | 未测得       | 4                          |

(a) Martin 金属公司许多炉号平均值。

(b) 1.55%Hf. (c)1.42%Hf. (d)1.3%Hf. (e)2.0%Hf.

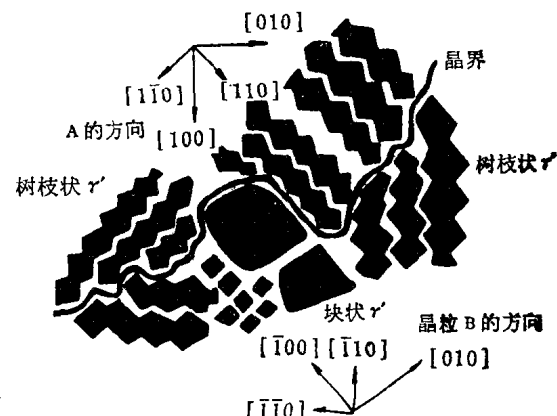
表10 加Hf对定向结晶 Mar-M200 合金横向持久性能的影响<sup>[83]</sup>

| 试验温度, °C | 应力, 公斤/毫米 <sup>2</sup> | 持久寿命, 小时 |      | 延伸率, % |      |
|----------|------------------------|----------|------|--------|------|
|          |                        | 2%Hf     | 无 Hf | 2%Hf   | 无 Hf |
| 760      | 59.5                   | 780      | 0.3  | 4.2    | 0.8  |
| 760      | 70.0                   | 170      | 加荷即断 | 5.3    | 0.1  |
| 870      | 42.0                   | 120      | 15   | 9.8    | 1.6  |
| 980      | 17.5                   | 125      | 75   | 7.6    | 1.9  |

加Hf后引起下列组织变化<sup>[81,83,90]</sup>。

- (1) 改变 $\gamma'$ 形态,由立方体形变为树枝状晶体,增加了 $\gamma+\gamma'$ 共晶数量,同时也增加了晶界附近的块状 $\gamma'$ 数量;
- (2) 由于晶界附近富Hf的树枝状 $\gamma'$ 的发展,使晶界由平面接触变成弯曲状态(见图6);
- (3) 改变了晶内碳化物形态,MC由连续的变成块状的;
- (4) 改变了时效时在晶界析出的富铬的 $M_2C_6$ 的大小和分布。

由于上述组织变化,特别是形成大量沿晶界排列的富Hf $\gamma'[\text{Ni}_3(\text{Al}, \text{Ti}, \text{Hf})]$ ,提高了晶界强度和塑性,而强化的晶界比周围 $\gamma-\gamma'$ 基体的强度高,可以抑制严重的塑性变形,从而阻止或延缓了晶界裂纹的发生和发展。加Hf后引起的弯曲晶界提高了蠕变时晶界滑移阻力,因而提高了合金的蠕变和疲劳强度<sup>[64,85,87,89]</sup>。

图6 加Hf的镍基铸造合金弯曲晶界示意图<sup>[84]</sup>